

*E. A. Зинькова*

## КСЕНОЛИТЫ И АВТОЛИТЫ В ГРАНИТОИДАХ ВЕРХ-ИСЕТСКОГО БАТОЛИТА

В южной части массива зафиксирована дугообразная полоса пород, обогащенных разнообразными ксенолитами, шириной до 1,5-2,0 км. При детальном изучении ксенолитов выделены следующие группы: пироксен-рогообманковое габбро порфировой структуры; пироксен-рогообманковые кварцевые диориты с микроклином; роговики пироксеновой фации; роговики рогообманковой фации; скарноиды; метавулканиты; метапелиты; метапироксениты. Химический состав перечисленных разновидностей ксенолитов представлен в табл. 1.

Наряду с ксенолитами в гранодиоритах массива отмечаются автолиты, которые более равномерны и варьируют по составу от габбро до кварцевых диоритов (см. далее рисунок и табл. 2.). Как правило, они имеют овальную форму в отличие от обломков ксенолитов, по форме остроугольных.

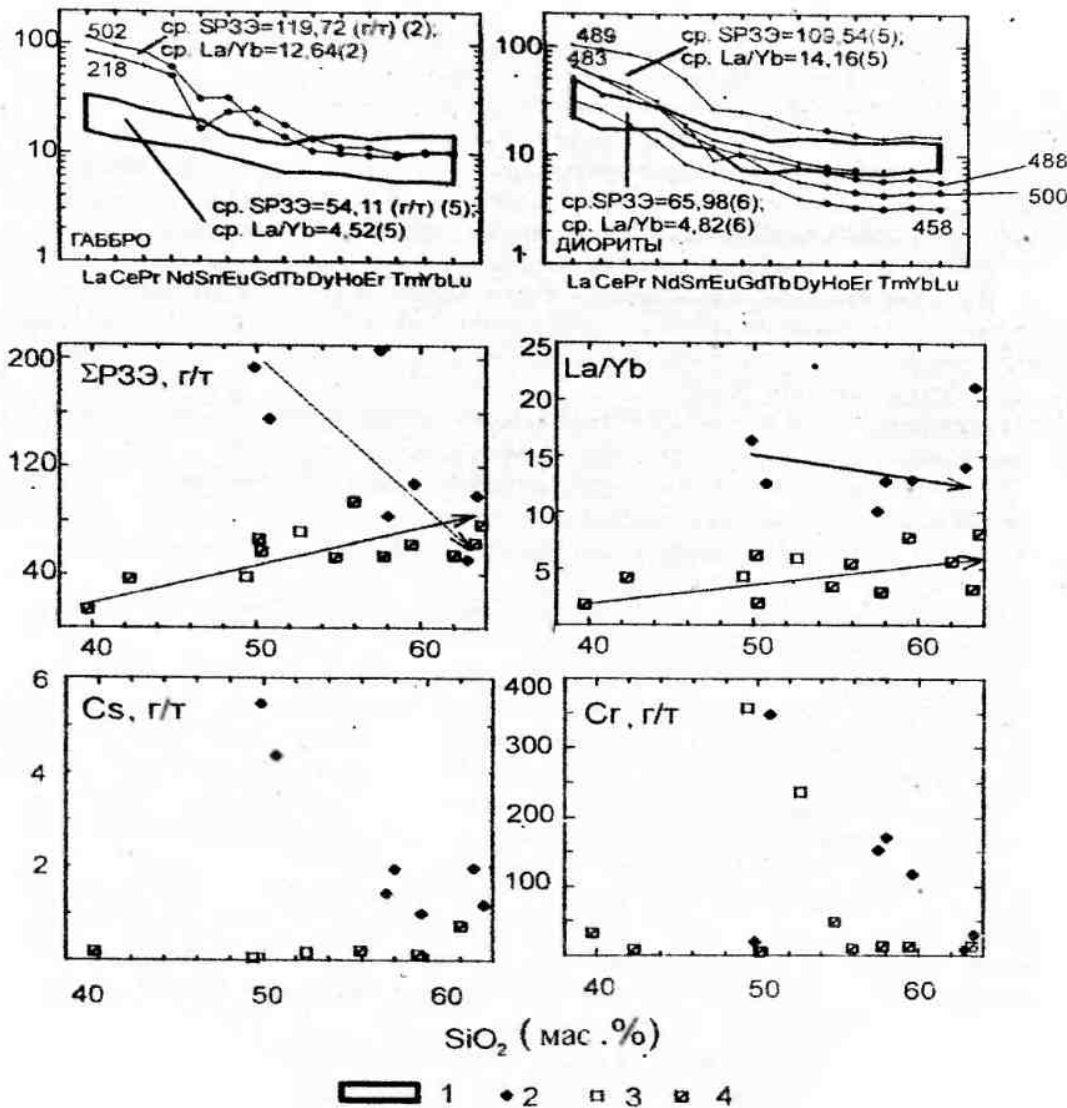
Скопления ксенолитов в совокупности часто образуют картину магматической брекчии. Цементом ее обычно служат пироксен-рогообманковые кварцевые диориты, иногда - ороговико-ванные в пироксенрогониковой фации. Эти данные указывают на то, что обогащенный ксенолитами

Таблица 1

Содержание петрогенных элементов в ксенолитах из гранитоидов Верх-Исетского массива,  
мас. %

Компонент	1 79	2 319б	3 99	4 100	5 339	6 77	7 341	8 337	9 338	10 340	11 336	12 96
SiO <sub>2</sub>	48,48	48,69	51,23	52,51	58,49	62,16	52,62	61,45	50,46	56,30	52,54	53,41
TiO <sub>2</sub>	0,53	0,95	0,53	0,74	0,57	0,33	0,72	0,63	0,67	0,78	0,96	0,99
Al <sub>2</sub> O <sub>3</sub>	9,30	14,28	10,26	13,95	17,70	17,31	16,99	14,16	14,60	20,13	16,18	17,63
Fe <sub>2</sub> O <sub>3</sub>	4,64	5,06	2,89	3,81	3,11	1,36	3,15	4,40	3,41	2,24	3,06	5,08
FeO	6,48	6,48	7,56	6,84	3,24	2,16	4,50	3,24	4,68	7,92	6,48	5,40
MgO	10,60	5,80	9,72	5,06	2,31	2,64	3,75	2,07	3,81	2,46	3,43	2,82
MnO	0,18	0,21	0,16	0,18	0,12	0,10	0,18	0,11	0,15	0,17	0,22	0,19
CaO	14,89	11,46	12,24	10,87	6,39	8,42	12,15	10,16	17,97	5,76	9,89	8,01
Na <sub>2</sub> O	0,54	2,08	1,19	1,85	5,23	3,85	3,08	2,22	1,35	0,87	3,69	4,11
K <sub>2</sub> O	0,58	1,53	0,56	0,57	2,02	1,58	0,57	0,82	0,11	1,00	0,78	0,95
P <sub>2</sub> O <sub>5</sub>	0,21	0,39	0,20	0,29	0,29	0,40	0,20	0,10	0,18	0,16	0,40	0,21
п.п.п.	1,63	1,22	1,75	1,57	1,15	0,44	0,93	1,33	1,45	1,16	1,54	1,19
Сумма	98,06	98,15	98,29	98,24	100,62	100,75	98,84	100,69	98,84	98,95	99,17	99,99

Примечание. 1-4 - пироксен-рогообманковое габбро; 5-6 - пироксен-рогообманковые кварцевые диориты с микроклином; 7-8 - пироксеновые роговики; 9 - скарноид; 10 - метапелит; 11-12 - рогообманковые роговики.



Распределение редких и редкоземельных элементов в ксенолитах и породах рамы (1) и в автолитах (2) Верх-Исетского массива; 3 - ксенолиты из гранитоидов массива. 4 - породы рамы массива. Цифрами обозначены номера проб из табл. 2. В скобках для средних величин приведено число анализов

блок сам является крупным ксенолитом в гранодиоритах массива. Обломки в брекчиях имеют острогульную форму, перемещены относительно друг друга и распределены неравномерно. Причем пироксен-рогообманковое габбро жильного облика занимают примерно 50 % от общего объема ксенолитов. Они часто содержат в себе ксенолиты метавулканитов с миндалекаменной текстурой. иногда - ксенолиты кристаллоптуфов, в единичных случаях - ксенолиты порфировидных клинопироксенитов.

Пироксен-рогообманковое габбро субвулканического облика - темные от среднезернистых до крупнозернистых породы, порфировидные за счет таблитчатых выделений клинопироксена, иногда с сохранившимися реликтовыми зернами ортопироксена, с офитовой, иногда трахитоидной структурой "основной массы". Состоит из плагиоклаза, клинопироксена, эпидота ( $Ps > 19\%$ ), иногда присутствует ортопироксен. В более крупных зернах клинопироксен сохраняется в центре зерна, в более мелких - нацело замещается амфиболом. Аксессорные минералы: апатит, ксеноморфный сференит, рудное вещество. Породы иногда ороговикованы в пироксеновой фации роговиков, но при этом реликты офитовой либо габбровой структуры хорошо сохраняются.

Пироксен-рогообманковые кварцевые диориты с микроклином. Макроскопически эти породы отличаются наличием призматической рогообманковой структуры. Структура их гипидиоморфнозернистая, призматически-зернистая, текстура гнейсовидная. Плагиоклаз представлен идиоморфными зернами.

нами, часто зональными от  $Al_{38}$  в ядре до  $Al_{22}$  в кайме. Калиевый полевой шпат - решетчатый микроклин. Аксессорные минералы: сфен, апатит, эпидот.

**Роговики пироксеновой фации.** Макроскопически это черно-серые породы с зеленым оттенком, очень плотные, массивные. Структура роговиковая, порфиробластовая за счет зерен клинопироксена. Текстура массивная. Минеральный состав: клинопироксен, роговая обманка, плагиоклаз, эпидот с мимикитоподобной структурой. Кварц представлен ксеноморфными зернами. Аксессорные минералы - сфен, эпидот, магнетит. По-видимому, эти роговики образованы по пироксен-рого-вообманковым габбро субвуликанического облика, описанным выше.

**Роговики роговообманковой фации.** В полосе ксенолитов эта разновидность пород встречается нечасто. Породы имеют порфиробластовую структуру за счет крупных пойкилокристаллов амфиболя и эпидота. Структура "основной массы" породы гранобластовая. Минеральный состав: плагиоклаз, кварц, амфибол, эпидот.

**Скарноиды.** Это светло-зеленые породы средне-крупнозернистые с массивной текстурой. Состоят из граната, клинопироксена, кварца, плагиоклаза, кальцита, эпидота.

**Метавулканиты** представлены кристаллутфами и лавами миндалекаменной текстуры. Первые состоят из отдельных обломков кристаллов клинопироксена. Вторые - в настоящее время мелко-зернистые пироксеновые роговики; бывшие миндалины заполнены плагиоклазом и клинопироксено-н.

**Метапелиты** представляют собой гранат-ставролит-силлimanит-биотитовые кристаллические сланцы с порфиробластами граната.

Автолиты, как уже отмечалось, не образуют таких скоплений, как ксенолиты. Состав их варьирует от габбро до кварцевых диоритов. Для них характерна гипидиоморфнозернистая структура, иногда порфировидная за счет выделений плагиоклаза. В отдельных участках пород отмечается гранобластовая структура; текстура гнейсовидная, обусловленная параллельным расположением лист биотита и зерен плагиоклаза удлиненной формы. Минеральный состав: кварц, плагиоклаз, калиевый полевой шпат, биотит, роговая обманка; среди аксессориев отмечается повышенное содержание апатита, наблюдается сфен, циркон, магнетит - больше, чем в других породах.

Для того чтобы надежно разделить автолиты и ксенолиты гранитоидов Верх-Исетского батолита и определить природу последних, был проведен сравнительный анализ редких и петрогенных элементов в них и в породах, вмещающих массив. В качестве вмещающих рассмотрены породы решинской габбро-диорит-трондемитовой, петрокаменской габбро-диорит-адамеллитовой и краснопольской тоналит-гранодиоритовой серий [2].

Анализ показал, что для автолитов характерно повышенное содержание  $TiO_2$ ,  $K_2O$  и  $P_2O_5$  и пониженное -  $CaO$  относительно ксенолитов с примерно таким же содержанием  $SiO_2$  (см. таблицы). Увеличение доли вышеперечисленных компонентов хорошо согласуется с обогащенностью автолитов соответственно сфером, биотитом и апатитом. Причем следует отметить, что в автолитах наблюдается уменьшение количества  $K_2O$  и  $P_2O_5$  с ростом  $SiO_2$ , тогда как в других породах зависимость обратная. По всей видимости, это объясняется повышенным содержанием биотита и апатита в наиболее ранних кумулятах из расплава, т. е. в автолитах. Существуют различия по вышеперечисленным компонентам между ксенолитами и породами рамы: в первых меньше  $TiO_2$  и больше  $CaO$  (см. таблицы). По другим петрогенным компонентам различий не наблюдается.

На классификационной диаграмме Бетчелера и Баудена [4] большинство ксенолитов из гранитоидов массива и почти все пироксен-рого-вообманковые габбро ложатся в поле мантийных дифференциаторов, тогда как все автолиты из гранитоидов массива попадают в поле доколлизионных серий, что согласуется с природой самих гранитоидов [3].

На диаграмме AFM автолиты находятся в поле известково-щелочных серий, тогда как большая часть ксенолитов, в том числе пироксен-рого-вообманковое габбро, попадают в поле толеитовых серий, к которому приурочено и большинство вмещающих габброидов.

Анализ распределения редких элементов в рассматриваемых породах показал, что ксенолиты имеют некоторое сходство по geoхимии с породами рамы: в них так же мала доля  $Cs$ ,  $Nb$ , как и в последних. Но выявлены и яркие отличия. Ксенолиты характеризуются повышенным содержанием  $Cr$ , большим количеством  $Co$  (при том же  $Ni$ ) относительно пород поздних серий рамы и приближенным, но все же меньшим, чем в породах ранних серий рамы. Приведенные данные по содержанию редких элементов указывают на существующие отличия между ксенолитами из гранитоидов Верх-Исетского массива и породами рамы и их приближенность к наиболее ранним образованиям среди вмещающих пород массива. Автолиты характеризуются повышенным содержанием  $Cs$ ,  $Nb$  относительно других рассматриваемых пород,  $Cr$  - относительно пород рамы. тогда как в ксенолитах из гранитоидов Верх-Исетского массива содержание  $Cr$  - на уровне автолитов (см. рисунок). Здесь

Таблица 2

Содержание петрогенных (мас. %) и редких элементов (г/т) в породах рамы, в ксенолитах и автолитах из гранитоидов Верх-Исетского массива.

Компонент	1	2	3	4	5	6	7	8	9	10	11
	ПКМ29	ПКМ10	ПКМ24	ПКМ30	455	ПКМ59	ПКМ60	ПКМ51v	ПКМ63	ПКМ42	ПКМ126
SiO <sub>2</sub>	50,28	54,80	57,76	63,30	39,72	42,30	50,16	53,82	55,92	59,42	62,03
TiO <sub>2</sub>	1,03	0,66	0,88	0,54	2,09	1,06	1,07	0,80	1,00	0,68	0,79
Al <sub>2</sub> O <sub>3</sub>	16,24	16,52	16,55	15,97	15,56	15,96	16,70	17,26	17,95	16,55	15,82
Fe <sub>2</sub> O <sub>3</sub>	3,61	1,40	2,31	1,63	8,39		0,00	3,28	2,80	3,56	5,13
FeO	9,99	6,44	6,29	4,83	6,68	15,50	12,19	5,20	5,41	3,69	3,05
MgO	0,24	0,17	0,18	0,14	8,11	6,27	4,57	4,02	0,17	0,23	0,26
MnO	4,42	5,12	2,99	1,93	0,16	0,17	0,24	0,17	2,75	2,41	2,48
CaO	9,03	8,84	6,61	4,94	14,00	13,37	8,92	8,65	7,25	6,50	5,82
Na <sub>2</sub> O	2,43	2,93	3,28	3,22	0,56	2,66	2,77	2,32	3,00	3,12	3,27
K <sub>2</sub> O	0,59	0,21	0,70	1,38	0,06	0,39	0,87	1,28	1,49	1,18	1,05
P <sub>2</sub> O <sub>5</sub>	0,07	0,11	0,16	0,13	0,00	0,05	0,22	0,15	0,18	0,19	0,20
п.п.п.	1,28	2,30	1,82	1,62	3,01	2,10	2,20	2,43	1,18	6,22	1,50
C <sub>умма</sub>	99,21	99,50	99,53	99,63	98,34	99,83	99,91	99,38	99,10	99,31	101,75
Li	1,81	0,04	0,64	3,09	0,02	1,86	3,26	0,39	8,16	3,37	5,37
Rb	0,00	0,00	0,00	14,66	0,00	0,00	0,00	8,88	24,27	26,40	25,61
Cs	0,00	0,00	0,00	0,00	0,18	0,00	0,00	0,00	0,22	0,13	0,74
Be	0,48	0,82	0,67	0,72	0,23	0,44	0,77	1,18	1,03	0,56	0,76
Sr	208	262	278	217	505	387	479	291	316	499	447
Ba	156	280	288	488	21	101	248	223	335	345	343
Sc	47,61	34,99	27,50	19,60	48,34	53,33	32,77	43,54	19,50	16,07	9,35
V	476	149	191	105	617	644	296	145	182	114	102
Cr	6	49	14	14	33	9	4	698	10	13	0,00
Co	40,01	23,93	17,01	12,88	47,58	50,70	29,89	30,59	19,45	13,91	11,46
Ni	11,08	45,18	8,00	8,15	43,58	41,18	9,65	170,6	10,16	209,9	4,23
Cu	79,31	28,03	68,93	51,38	208	414	74,41	15,36	23,70	11,67	16,16
Zn	93,75	64,59	71,47	71,65	19,92	71,90	109	53,60	85,36	108	6,13
Ga	18,12	16,13	17,36	15,63	16,73	17,94	19,88	12,36	19,61	21,90	15,40
Y	30,91	22,30	25,33	26,69	7,25	13,15	19,03	16,71	30,49	17,28	15,62
Nb	1,05	1,42	0,69	2,13	0,84	0,42	1,55	1,45	5,14	5,01	4,04
Ta	0,00	0,00	0,00	0,00	0,00	0,88	0,00	0,00	0,12	0,01	0,13
Zr	33,96	50,44	19,71	42,57	11,26	25,18	32,91	39,28	41,78	20,97	30,24
Hf	1,41	1,56	0,84	1,61	0,66	0,76	1,10	1,32	1,60	0,69	1,20
Mo	0,65	0,24	0,33	0,37	0,04	0,36	0,32	0,14	0,38	-3,27	0,11
Sn	1,11	1,24	1,20	1,51	0,88	1,01	0,80	1,32	1,60	0,00	1,09
Pb	2,76	3,68	10,80	8,14	0,00	2,13	3,34	3,58	4,72	0,00	0,00
U	0,31	0,39	0,22	0,74	0,22	0,13	0,42	0,66	0,54	0,60	1,00
Th	2,61	2,98	2,17	3,83	0,07	1,87	2,85	4,02	4,08	1,74	1,39
La	6,32	7,60	7,26	9,01	1,17	5,09	11,62	13,77	16,30	14,00	9,08
Ce	15,65	15,52	14,94	20,77	2,45	11,68	22,42	29,08	32,13	20,16	19,26
Pr	2,36	2,30	2,24	2,72	0,46	1,62	3,03	3,76	4,18	2,72	2,59
Nd	11,37	10,55	10,57	11,85	2,90	7,23	12,88	15,31	17,84	11,34	10,88
Sm	3,39	2,99	3,16	3,20	1,13	2,16	3,34	3,32	4,48	2,61	2,56
Eu	1,01	0,96	1,11	0,96	0,56	0,70	1,28	1,01	1,36	0,91	0,86
Gd	3,63	2,78	2,99	3,29	1,38	2,17	3,25	3,34	4,51	2,56	2,03
Tb	0,60	0,50	0,54	0,55	0,22	0,33	0,48	0,44	0,68	0,42	0,35
Dy	4,73	3,56	4,03	4,05	1,49	2,29	3,22	2,68	4,93	2,89	2,59
Ho	1,12	0,82	0,94	0,93	0,28	0,50	0,70	0,58	1,09	0,59	0,56
Er	3,08	2,31	2,51	2,67	0,73	1,33	1,83	1,66	2,96	1,76	1,56
Tm	0,51	0,35	0,39	0,42	0,10	0,19	0,29	0,26	0,46	0,28	0,24
Yb	3,21	2,21	2,47	2,81	0,64	1,21	1,87	1,69	2,96	1,80	1,60
Lu	0,49	0,34	0,36	0,41	0,10	0,18	0,27	0,26	0,44	0,34	0,26

Примечание. Породы рамы: 1-4 - решинской габбро-диорит-тронцемитовой; 5-9 - петрокаменской габбро-диорит-адамеллитовой; 10-11 - краснопольской тоналит-гранодиоритовой серий.

Компонент	12	13	14	15	16	17	18	19	20
	371	385	502	218	489	500	483	458	488
SiO <sub>2</sub>	49,38	52,65	49,86	50,78	57,51	58,00	59,61	62,82	63,41
TiO <sub>2</sub>	0,42	0,73	1,98	1,16	1,00	0,94	0,84	0,69	0,66
Al <sub>2</sub> O <sub>3</sub>	15,15	18,20	17,15	13,92	10,50	13,29	15,51	17,09	16,03
Fe <sub>2</sub> O <sub>3</sub>	4,35	4,91	3,97	10,29	4,08	6,31	3,29	3,79	4,56
FeO	4,67	4,31	7,18	н. опр.	6,46	3,59	3,95	1,54	0,72
MgO	7,89	3,89	4,16	8,69	6,06	4,91	4,75	2,13	2,79
MnO	0,20	0,13	0,14	н. опр.	0,23	0,18	0,15	0,12	0,10
CaO	12,90	8,97	4,29	7,53	7,03	5,92	5,80	4,08	4,72
Na <sub>2</sub> O	1,53	4,26	4,26	3,32	2,28	3,08	3,08	4,68	4,48
K <sub>2</sub> O	0,22	0,31	4,11	2,28	2,37	1,92	1,64	1,84	2,00
P <sub>2</sub> O <sub>5</sub>	0,07	0,23	0,80	0,40	0,76	0,32	0,22	0,27	0,26
п.п.п.	12,63	8,72	1,57	1,05	1,43	1,24	1,21	1,37	0,66
Сумма	96,78	98,59	99,47	99,42	99,71	99,7	100,05	100,18	100,39
Li	11,82	2,88	81,90	50,33	17,20	23,65	15,49	12,65	15,20
Rb	1,76	2,99	142,61	87,37	39,06	65,21	33,54	50,46	41,43
Cs	0,05	0,16	5,45	4,36	1,44	1,95	1,00	1,97	1,19
Be	0,63	1,47	1,68	1,91	1,66	1,52	1,40	1,48	1,15
Sr	284	420	539	449	306	454	640	598	650
Ba	70	162	418	163	487	293	505	615	637
Sc	60,78	40,29	4,11	28,12	32,91	19,48	16,30	7,64	10,11
V	268	290	197	201	231	130	117	85	83
Cr	357	236	20	347	152	170	118	8	30
Co	37,86	33,05	20,04	39,85	30,30	21,31	20,94	10,88	9,99
Ni	65,38	69,73	23,87	174,52	106,88	111,11	88,35	23,90	29,29
Cu	31,15	63,10	89,08	122,15	13,76	51,12	401,02	23,73	13,57
Zn	87,71	77,58	45,16	172,56	83,15	76,91	89,17	78,10	65,23
Ga	12,90	15,09	22,49	17,78	16,41	17,42	15,71	18,68	15,83
Y	12,54	15,66	23,88	23,32	36,19	15,23	17,30	8,03	11,18
Nb	1,23	3,08	21,30	29,37	13,07	7,44	7,86	5,73	7,25
Ta	0,74	0,65	1,30	13,34	0,65	0,24	0,52	0,28	0,44
Zr	9,76	17,96	89,16	70,09	33,35	55,34	22,41	85,66	12,15
Hf	0,91	1,46	2,11	1,61	2,06	1,58	0,93	2,06	0,74
Mo	0,19	0,28	1,97	1,86	0,65	0,24	0,18	0,01	0,66
Sn	0,32	1,05	3,28	2,05	2,56	2,09	2,71	2,51	1,00
Pb	0,00	0,00	1,56	10,89	7,93	0,43	14,83	19,46	9,66
U	0,38	0,94	6,65	3,53	2,99	1,33	0,80	0,87	2,01
Th	0,85	2,53	8,64	4,05	8,90	1,32	2,98	2,87	4,89
La	6,59	11,00	37,55	27,83	33,64	17,41	21,67	10,48	21,28
Ce	9,24	25,87	82,39	63,88	81,32	30,11	44,69	22,50	43,18
Pr	1,74	3,25	10,97	8,15	11,00	4,14	5,51	2,47	4,85
Nd	7,58	14,11	38,54	32,04	45,40	17,50	19,47	8,37	17,36
Sm	2,05	3,50	6,39	3,37	9,93	3,86	3,66	1,68	3,24
Eu	0,61	1,17	2,47	1,83	2,03	0,69	1,08	0,53	0,93
Gd	2,67	3,97	5,21	6,93	6,88	2,87	3,39	1,61	2,74
Tb	0,43	0,49	0,70	0,91	1,12	0,45	0,53	0,26	0,36
Dy	2,82	3,38	3,57	4,66	6,33	2,76	3,01	1,39	1,99
Ho	0,56	0,67	0,77	0,87	1,32	0,55	0,61	0,29	0,40
Er	1,73	2,03	2,16	2,54	3,45	1,40	1,68	0,76	1,05
Tm	0,25	0,24	0,33	0,35	0,51	0,21	0,26	0,12	0,15
Yb	1,53	1,86	2,30	2,22	3,33	1,37	1,69	0,75	1,01
Lu	0,21	0,27	0,35	0,34	0,50	0,20	0,24	0,11	0,16

Примечание. 12-13 - ксенолиты, 14-20 - автолиты.

можно сделать предположение о том, что источник Сг для автолитов и ксенолитов массива общий, не имеющий связи с вмещающими породами. В автолитах отмечается четкая отрицательная корреляция этих элементов с  $\text{SiO}_2$ , тогда как в породах рамы таковой не наблюдается (см. рисунок).

Известно, что содержание РЗЭ в породе коррелируется с содержанием в них кремнезема. Например, в гранитоидах Верх-Исетского массива с ростом  $\text{SiO}_2$  сумма РЗЭ уменьшается [1]. В сериях с малым содержанием РЗЭ и, соответственно, акцессорных минералов наблюдается накопление количества РЗЭ по мере роста индекса дифференциации ( $\text{SiO}_2$ ). В автолитах сумма РЗЭ уменьшается с ростом  $\text{SiO}_2$ , тогда как в ксенолитах и породах рамы массива тенденция обратная. По всей видимости, это происходит из-за различного уровня содержаний РЗЭ: в автолитах больше РЗЭ и, соответственно, акцессорных минералов, концентрирующих РЗЭ, что обуславливает их участие в фракционировании, и как результат - уменьшение количества РЗЭ с ростом  $\text{SiO}_2$ ; в породах же рамы и в ксенолитах массива из-за малого содержания РЗЭ и акцессорных минералов происходит накопление РЗЭ по мере фракционирования (см. рисунок). Автолиты характеризуются более высокими значениями  $\text{La/Yb}$  отношений относительно ксенолитов и пород рамы массива. Относительно  $\text{SiO}_2$  эта величина уменьшается в автолитах и увеличивается в ксенолитах и породах рамы массива (см. рисунок), что также зависит от фракционирования различных минералов: в автолитах преобладающую роль в этом процессе играют акцессорий, а в ксенолитах и породах рамы - пордообразующие минералы.

На графиках распределения РЗЭ поля автолитов, с одной стороны, и ксенолитов и пород рамы массива, с другой, обособляются (см. рисунок). Автолиты характеризуются повышенным содержанием РЗЭ и большей величиной  $\text{La/Yb}$  отношения за счет большого количества ЛРЗЭ. Средние величины суммы РЗЭ и  $\text{La/Yb}$  отношения в породах основного состава, соответственно, для автолитов, ксенолитов и пород рамы массива следующие: 119,72 (г/т), 12,64; 54,11 (г/т), 4,52 (см. рис.). Эти же величины в породах среднего состава: 109,54 (г/т), 14,16; 65,98 (г/т), 4,82 (см. рисунок). Приведенные цифры наглядно демонстрируют различия по распределению РЗЭ. Породы рамы не различаются по данному показателю.

Следует отметить некоторые различия метаморфизма, которому подверглись ксенолиты из гранитоидов Верх-Исетского массива и породы его рамы. В частности, последние изменены в условиях зеленосланцевой фации, тогда как ксенолиты из его гранитоидов не были затронуты этим типом метаморфизма, они изменены в условиях пироксеновой фации роговиков контактового метаморфизма, причем указанные изменения накладывались, судя по структуре и минеральному составу роговиков, на неметаморфизованные породы. Этот факт указывает на то, что ксенолиты были захвачены до эпохи зеленокаменного метаморфизма.

Приведенные данные свидетельствуют как о сходстве, так и о различиях ксенолитов в породах Верх-Исетского батолита и пород его рамы. Это позволяет сделать вывод о том, что ксенолиты в гранитоидах Верх-Исетского массива не являются полным аналогом вмещающих пород и отражают состав более глубоких горизонтов коры, интрутированных гранитоидами. Автолиты же имеют яркие отличия от ксенолитов из гранитоидов массива и, как уже отмечалось выше, по-видимому, являются ранними кумулятами гранитоидов массива.

Работа выполнена при поддержке гранта N 98-05-64826, при частичной финансовой поддержке ФЦП «Интеграция».

#### Список литературы

1. Зинькова Е. А., Ферштатер Г. Б., Смирнов В. Н. О некоторых геохимических различиях серий Верхисетского батолита // Ежегодник-1996 Ин-та геологии и геохимии УрО РАН. Свердловск. 1997. С. 123-125.
2. Смирнов В. Н., Веденников В. В. Магматизм Петроламенской структурно-формационной зоны (Средний Урал). Свердловск: УНЦ АН СССР, 1987. 232 с.
3. Ферштатер Г. Б., Бородина Н.С., Рапорт М.С. и др. Орогенный гранитоидный магматизм Урала. Миасс, 1994. 247 с.
4. Batchelor R.A., Bowden P. Petrogenetic interpretation of granitoid rock series using multicationic parameters // Chemical Geology. 1985. V.48. P.43-55.